

# Generalizaciones de la conjetura de Sato–Tate

Francesc Fité (MIT)

Seminario Latinoamericano de Teoría de Números

24/6/2021

# Trazas de Frobenius para curvas elípticas

$k$  un cuerpo de números.

$E/k$  una **curva elíptica**, es decir, una curva dada por

$$y^2 = x^3 + ax + b, \quad \text{donde } a, b \in k, 4a^3 + 27b^2 \neq 0.$$

Para  $p$  un primo de buena reducción de  $E$ , denotemos

$$a_p := q + 1 - \#E(\mathbb{F}_q), \quad \text{donde } q = \text{Nm}(p).$$

La **traza de Frobenius**  $a_p$  determina la función Zeta de  $E$

$$Z(E_p, T) := \exp \left( \sum_{n \geq 1} \#E(\mathbb{F}_{q^n}) \frac{T^n}{n} \right) = \frac{1 - a_p T + qT^2}{(1 - T)(1 - qT)}.$$

# Una pregunta abierta

Por la cota de Hasse-Weil tenemos:

$$\bar{a}_p := \frac{a_p}{q^{1/2}} \in [-2, 2].$$

Consideremos la secuencia  $\{\bar{a}_p\}_p$ .

Cuál es la distribución de  $\{\bar{a}_p\}_p$  sobre el intervalo  $[-2, 2]$ ?

La respuesta (conjetural) depende de  $\mathcal{A} = \text{End}(E_{\overline{\mathbb{Q}}}) \otimes \mathbb{Q}$ :

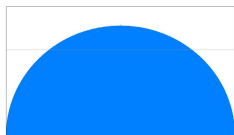
- 1)  $\mathcal{A} \simeq \mathbb{Q}$ .
- 2)  $\mathcal{A}$  es un cuerpo cuadrático imaginario contenido en  $k$ .
- 3)  $\mathcal{A}$  es un cuerpo cuadrático imaginario *no* contenido en  $k$ .

# La conjetura de Sato–Tate para curvas elípticas

## Conjetura de Sato–Tate

$\{\bar{a}_p\}_p$  se distribuye sobre  $[-2, 2]$  con respecto a las medidas

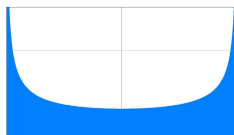
1)  $\frac{1}{2\pi} \sqrt{4-z^2} dz$



2)  $\frac{1}{\pi} \frac{dz}{\sqrt{4-z^2}}$



3)  $\frac{1}{2} \delta_0 + \frac{1}{2\pi} \frac{dz}{\sqrt{4-z^2}}$



(según los casos de la transparencia anterior).

## Observación

Demostrada en los casos 2), 3), y en 1) cuando  $k$  es un cuerpo TR o CM.

## Pregunta

En el caso 1), sea  $\delta_-$  la densidad de  $\{p : a_p < 0\}$ .

Cuál es la mejor cota inferior conocida para  $\delta_-$  para  $k$  arbitrario?

# El grupo de Sato–Tate de una curva elíptica

Las medidas de la transparencia anterior ‘proviene’ de subgrupos de  $SU(2)$ . Estos subgrupos son:

$$1) SU(2) := \left\{ \begin{pmatrix} a & b \\ -\bar{b} & \bar{a} \end{pmatrix} \in GL_2(\mathbb{C}) : a\bar{a} + b\bar{b} = 1 \right\}.$$

$$2) U(1) := \left\{ \begin{pmatrix} u & 0 \\ 0 & \bar{u} \end{pmatrix} : u \in \mathbb{C}, |u| = 1 \right\}.$$

$$3) N_{SU(2)}(U(1)) := \left\langle U(1), \begin{pmatrix} 0 & 1 \\ -1 & 0 \end{pmatrix} \right\rangle.$$

Para un  $G$  como en 1), 2), 3), tenemos  $\text{Tr} : G \rightarrow [-2, 2]$ .

La medida de la conjetura se puede describir como

$$\text{Tr}_*(\mu_G),$$

donde  $\mu_G$  es la medida de Haar de  $G$ .

# Reformulación de la conjetura

Definimos el **grupo de Sato–Tate de  $E$**  como  $ST(E) = SU(2)$ ,  $U(1)$ , o  $N_{SU(2)}(U(1))$  según los casos vistos.

Denotemos

$$\bar{L}_p(E, T) := L_p(E, q^{-1/2} T) = 1 - \bar{a}_p T + T^2.$$

## Conjetura de Sato–Tate

Existe una factorización

$$\{\text{primos de } k\} \rightarrow \text{Conj}(ST(E)) \twoheadrightarrow \text{CharPolys}(ST(E)), \quad \mathfrak{p} \mapsto x_{\mathfrak{p}} \mapsto \bar{L}_{\mathfrak{p}}(E, T)$$

tal que la secuencia  $\{x_{\mathfrak{p}}\}_{\mathfrak{p}}$  se distribuye sobre el espacio  $\text{Conj}(ST(E))$  con respecto a la medida de Haar de  $ST(E)$ .

# Estrategia para la demostración

La construcción de  $x_p$  no es complicada.

Asociada a una representación irreducible  $\varrho$  de  $ST(E)$ , se define

$$L(E, \varrho, s) := \prod_p \det(1 - \varrho(x_p) \text{Nm}(\mathfrak{p})^{-s})^{-1} \quad \text{para } \Re(s) > 1.$$

## Ejemplo

Si  $ST(E) = SU(2)$ , entonces las irreps de  $ST(E)$  son  $\text{Sym}^m(\mathbb{C}^2)$ .

## Teorema (Serre)

Si para toda  $\varrho$  no trivial,  $L(E, \varrho, s)$  se extiende a (un entorno de)  $\Re(s) \geq 1$  y no se anula sobre  $\Re(s) = 1$ , entonces se tiene la equidistribución de  $\{x_p\}_p$ .

## Observación

Típicamente, la no anulación de  $L(E, \varrho, s)$  se deduce demostrando su automorfía potencial.

# El grupo de Sato–Tate de una variedad abeliana

Sea  $A/k$  una variedad abeliana de dimensión  $g \geq 1$ .

Para un primo  $\ell$ , definimos

$$T_\ell(A) = \varprojlim_r A[\ell^r](\overline{\mathbb{Q}}), \quad V_\ell(A) = T_\ell(A) \otimes_{\mathbb{Z}_\ell} \mathbb{Q}_\ell.$$

Consideremos la **representación  $\ell$ -ádica** asociada a  $A$

$$\rho_\ell: G_k \rightarrow \text{Aut}(V_\ell(A)).$$

Denotemos por  $\mathcal{G}_\ell \subseteq \text{GSp}_{2g}/\mathbb{Q}_\ell$  la clausura de Zariski de la imagen de  $\rho_\ell$ .

Denotemos por  $\mathcal{G}_\ell^0 \subseteq \text{GSp}_{2g}/\mathbb{Q}_\ell$  la componente conexa de  $\mathcal{G}_\ell$ .

Tenemos una inyección

$$\text{End}(A_{\overline{\mathbb{Q}}}) \otimes \mathbb{Q}_\ell \hookrightarrow \text{End}_{\mathcal{G}_\ell^0}(V_\ell(A))$$

(un isomorfismo por un teorema de Faltings).



La inclusión anterior se puede reinterpretar como

$$\mathcal{G}_\ell^0 \hookrightarrow \{\gamma \in \mathrm{GSp}_{2g}/\mathbb{Q}_\ell \mid \gamma\alpha\gamma^{-1} = \alpha \text{ para todo } \alpha \in \mathrm{End}(A_{\overline{\mathbb{Q}}})\}.$$

De hecho, tenemos

$$\mathcal{G}_\ell \hookrightarrow \bigcup_{\sigma \in G_k} \{\gamma \in \mathrm{GSp}_{2g}/\mathbb{Q}_\ell \mid \gamma\alpha\gamma^{-1} = \sigma(\alpha) \text{ para todo } \alpha \in \mathrm{End}(A_{\overline{\mathbb{Q}}})\}.$$

Edificando sobre el trabajo de muchos, Banaszak y Kedlaya muestran que si  $g \leq 3$ , entonces la inyección anterior es una igualdad. Independencia de  $\ell$ !

De ahora en adelante, supondremos  $g \leq 3$ .

Definimos el [grupo twistado de Lefschetz de  \$A\$](#)  como

$$\mathrm{TL}(A) := \bigcup_{\sigma \in G_k} \{\gamma \in \mathrm{Sp}_{2g}/\mathbb{Q} \mid \gamma\alpha\gamma^{-1} = \sigma(\alpha) \text{ para todo } \alpha \in \mathrm{End}(A_{\overline{\mathbb{Q}}})\}.$$

Definimos [ST\(A\)](#) como un subgrupo maximal compacto de  $\mathrm{TL}(A)(\mathbb{C})$ .

Es un subgrupo de  $\mathrm{USp}(2g)$ , no necesariamente conexo, sensible a cambio de base, y sólo bien definido *salvo conjugación*.

## Conjetura de Sato–Tate en dimensión $\leq 3$

Sea  $p$  un primo de buena reducción para  $A$ . Definamos

$$L_p(A, T) = \det(1 - \varrho_\ell(\text{Frob}_p)T | V_\ell(A)), \quad \bar{L}_p(A, T) = L_p(A, T/q^{1/2}).$$

Junto con  $\text{ST}(A)$ , se pueden definir  $x_p \in \text{Conj}(\text{ST}(A))$  tales que

$$\text{Charpoly}(x_p) = \bar{L}_p(A, T).$$

En general, la aplicación

$$\text{Conj}(\text{ST}(A)) \rightarrow \text{Charpolys}(\text{ST}(A)), \quad x \mapsto \text{Charpoly}(x)$$

no es inyectiva.

### Conjetura de Sato–Tate para variedades abelianas (Serre)

La secuencia  $\{x_p\}_p$  se distribuye sobre el espacio  $\text{Conj}(\text{ST}(A))$  con respecto a la medida de Haar de  $\text{ST}(A)$ .

# Axiomas de Sato–Tate

En dimensión  $g \leq 3$ ,  $ST(A)$  satisface las siguientes propiedades:

## Condición de Hodge (ST1).

$ST(A)^0$  contiene algún círculo de Hodge y está topológicamente generado por ellos (un círculo de Hodge es la imagen de un homomorfismo  $\theta: U(1) \rightarrow ST(A)^0$  tal que  $\theta(u)$  tiene autovalores  $u, u^{-1}$  con multiplicidad  $g$ ).

## Condición de racionalidad (ST2).

El valor esperado  $\int_H \chi \mu$  de un carácter  $\chi$  sobre una componente conexa cualquiera  $H \subseteq ST(A)$  es un entero (con  $\mu(H) = 1$ ).

## Condición de Lefschetz (ST3).

El subgrupo de  $USp(2g)$  que fija  $(\mathbb{C}^{2g})^{ST(A)^0}$  es  $ST(A)^0$ .

## Condición de Serre (ST4).

Sea  $F_A/k$  la mínima extensión  $F/k$  sobre la que  $\text{End}(A_F) \simeq \text{End}(A_{\overline{\mathbb{Q}}})$ .  
Entonces

$$ST(A)/ST(A)^0 \simeq \text{Gal}(F_A/k).$$

# Grupos de Sato–Tate en dimensión $\leq 2$

## Observaciones

Ni (ST3) ni (ST4) permanecen ciertos para  $g \geq 4$ .

Salvo conjugación en  $USp(2) = SU(2)$ , 3 grupos satisfacen los axiomas de ST.

## Teorema 1 (F.-Kedlaya-Rotger-Sutherland; 2012)

- Salvo conjugación en  $USp(4)$ , existen 52 grupos de Sato–Tate para superficies abelianas definidas sobre cuerpos de números.
- Los 11 grupos maximales (con respecto a inclusiones finitas) ocurren como grupos de Sato–Tate de superficies abelianas sobre  $\mathbb{Q}$ .
- Para una superficie abeliana  $A/k$ , el grado  $[F_A : k]$  divide 48.

## Observación

El tercer punto refina un resultado anterior de Silverberg.

# Puntos adicionales

- Los 52 grupos ocurren como grupos de Sato–Tate de Jacobianas de curvas de género 2 definidas sobre un cuerpo de números (FKRS).
- Sólo 34 ocurren como grupos de Sato-Tate de superficies sobre  $\mathbb{Q}$  (FKRS).
- Existe un cuerpo de números  $k_0$  sobre el que los 52 grupos aparecen como grupo de ST de alguna superficie abeliana definida sobre  $k_0$  (F.-Guitart).
- Para  $k = \mathbb{Q}$ , la equidistribución es conocida salvo cuando  $ST(A) = USp(4)$  (Johansson–N.Taylor).
- Para visualizar las 52 distribuciones, visitar:

<https://math.mit.edu/~drew/st2/g2SatoTateDistributions.html>

# Tipo de endomorfismos

Definimos el **tipo de endomorfismos** de una variedad abeliana  $A/k$  como la clase de isomorfismo de la  $\mathbb{R}$ -álgebra

$$\text{End}(A_{\overline{\mathbb{Q}}}) \otimes \mathbb{R} \quad \text{equipada con una acción de } \text{Gal}(F_A/k).$$

## Ejemplo

Hay tres tipos de endomorfismos para curvas elípticas.

Son  $\mathbb{R}$ ,  $\mathbb{C}$  (ambos equipados con la acción del grupo trivial), y  $\mathbb{C}$  equipado con la acción de la conjugación compleja.

## Teorema (FKRS)

- Hay 52 tipos de endomorfismos para superficies abelianas sobre cuerpos de números.
- El grupo de Sato–Tate y el tipo de endomorfismos de una superficie abeliana se determinan mutuamente de forma unívoca.

## Comentarios sobre la clasificación para $g = 2$

(ST1) permite 6 opciones para  $G^0 \subseteq \mathrm{USp}(4)$  ((ST3) es redundante para  $g = 2$ ).

$G^0$	$\mathrm{End}(A_{\overline{\mathbb{Q}}}) \otimes \mathbb{R}$	$N_{\mathrm{USp}(4)}(G^0)/G^0$	$\#\mathcal{A}$
$\mathrm{USp}(4)$	$\mathbb{R}$	$C_1$	1
$\mathrm{SU}(2) \times \mathrm{SU}(2)$	$\mathbb{R} \times \mathbb{R}$	$C_2$	2
$\mathrm{SU}(2) \times \mathrm{U}(1)$	$\mathbb{R} \times \mathbb{C}$	$C_2$	2
$\mathrm{U}(1) \times \mathrm{U}(1)$	$\mathbb{C} \times \mathbb{C}$	$D_4$	8
$\mathrm{SU}(2)_2$	$M_2(\mathbb{R})$	$O(2)$	10
$\mathrm{U}(1)_2$	$M_2(\mathbb{C})$	$\mathrm{SO}(3) \times C_2$	32
			55

- $\mathcal{A} = \{\text{subgrupos finitos de } N_{\mathrm{USp}(4)}(G^0)/G^0 \text{ para los que (ST2) se cumple}\}.$
- 3 de los grupos en el caso  $G^0 = \mathrm{U}(1) \times \mathrm{U}(1)$  no satisfacen (ST4):
  - ▶  $A$  es  $\overline{\mathbb{Q}}$ -isógena a un producto de variedades abelianas  $A_i$  con CM por  $M_i$ .
  - ▶  $G/G^0 \simeq \mathrm{Gal}(F_A/k) \simeq \prod \mathrm{Gal}(kM_i^*/k) \subseteq C_2 \times C_2, C_4.$

# Grupos de Sato–Tate en dimensión $g = 3$

## Teorema 2 (F.-Kedlaya-Sutherland; véase arXiv próximamente)

- Salvo conjugación en  $USp(6)$ , existen 410 grupos de Sato–Tate de variedades abelianas de dimensión 3 definidas sobre cuerpos de números.
- Los 33 grupos maximales (con respecto a inclusiones finitas) ocurren como grupos de Sato–Tate de variedades abelianas sobre  $\mathbb{Q}$  o  $\mathbb{Q}(\sqrt{3})$ .
- Para una variedad abeliana  $A/k$  de dimensión 3, el grado  $[F_A : k]$  divide 192, 336, or 432.

## Observación

Guralnick y Kedlaya habían probado:  $[F_A : k] \mid \text{mcm}(192, 336, 432)$ .

Que 192 y 336 se pueden alcanzar se conocía por F.-Lorenzo-Sutherland.



## Puntos adicionales (abiertos)

- Cuántos ocurren entre Jacobianas de curvas de género 3? Cuántos ocurren entre variedades principalmente polarizadas?
- Cuántos ocurren sobre  $\mathbb{Q}$ ?
- Existe algún  $k_0$  sobre el cual los 410 grupos se pueden realizar?
- Para visualizar las 410 distribuciones, visitar:

<https://math.mit.edu/~drew/st3/g3SatoTateDistributions.html>

# Comentarios sobre la clasificación para $g = 3$

$G^0$	$\text{End}(A_{\mathbb{Q}}) \otimes \mathbb{R}$	$N_{\text{USp}(6)}(G^0)/G^0$	$\#\mathcal{A}$
$\text{USp}(6)$	$\mathbb{R}$	$C_1$	1
$U(3)$	$\mathbb{C}$	$C_2$	2
$SU(2) \times \text{USp}(4)$	$\mathbb{R} \times \mathbb{R}$	$C_1$	1
$U(1) \times \text{USp}(4)$	$\mathbb{C} \times \mathbb{R}$	$C_2$	2
$U(1) \times SU(2) \times SU(2)$	$\mathbb{C} \times \mathbb{R} \times \mathbb{R}$	$C_2 \times C_2$	5
$SU(2) \times U(1) \times U(1)$	$\mathbb{R} \times \mathbb{C} \times \mathbb{C}$	$D_4$	<b>8</b>
$SU(2) \times SU(2)_2$	$\mathbb{R} \times M_2(\mathbb{R})$	$O(2)$	10
$SU(2) \times U(1)_2$	$\mathbb{R} \times M_2(\mathbb{C})$	$SO(3) \times C_2$	32
$U(1) \times SU(2)_2$	$\mathbb{C} \times M_2(\mathbb{R})$	$C_2 \times O(2)$	31
$U(1) \times U(1)_2$	$\mathbb{C} \times M_2(\mathbb{C})$	$C_2 \times SO(3) \times C_2$	122
$SU(2) \times SU(2) \times SU(2)$	$\mathbb{R} \times \mathbb{R} \times \mathbb{R}$	$S_3$	4
$U(1) \times U(1) \times U(1)$	$\mathbb{C} \times \mathbb{C} \times \mathbb{C}$	$(C_2 \times C_2 \times C_2) \rtimes S_3$	<b>33</b>
$SU(2)_3$	$M_3(\mathbb{R})$	$SO(3)$	11
$U(1)_3$	$M_3(\mathbb{C})$	$PSU(3) \times C_2$	171

$\mathcal{A} = \{\text{subgrupos finitos de } N_{\text{USp}(6)}(G^0)/G^0 \text{ para los que (ST2) se satisface}\}.$

# Una versión efectiva

Sea  $A/k$  una variedad abeliana de dimensión  $g \geq 1$ .

Sea  $\mu_{ST}$  la medida de Haar de  $ST(A)$  y, sobre el intervalo  $[-2g, 2g]$ , consideremos la medida  $\mu = \text{Tr}_*(\mu_{ST})$ .

Dado  $I \subseteq [-2g, 2g]$ , sea  $\delta_I$  la función indicadora de  $I$ .

Sea  $\text{Li}(x) = \int_2^x \log(t)^{-1} dt$ . El teorema del número primo dar lugar a

## Reformulación de la conjetura de Sato–Tate

$$\sum_{\text{Nm}(\mathfrak{p}) \leq x} \delta_I(\bar{a}_{\mathfrak{p}}) = \mu(I)\text{Li}(x) + o\left(\frac{x}{\log(x)}\right) \quad \text{cuando } x \rightarrow \infty.$$

## Versión efectiva de la conjetura de Sato–Tate

Existe  $\varepsilon > 0$  tal que

$$\sum_{\text{Nm}(\mathfrak{p}) \leq x} \delta_I(\bar{a}_{\mathfrak{p}}) = \mu(I)\text{Li}(x) + O(x^{1-\varepsilon}) \quad \text{cuando } x \rightarrow \infty.$$

# Una versión efectiva vía funciones $L$

Sea  $\varrho$  una irrep de  $\text{ST}(A)$ .

Sea  $\Lambda(A, \varrho, s)$  la función  $L$  completada asociada a  $L(A, \varrho, s)$ .

Hipótesis de Riemann generalizada para  $\varrho$ :

- $\Lambda(A, \varrho, s)$  extiende a una función meromorfa a  $\mathbb{C}$ . Tiene polos simples en  $s = 0$  y  $1$  si  $\varrho$  es trivial, y es analítica en otro caso.
- $\Lambda(A, \varrho, s)$  satisface una ecuación funcional ( $s \leftrightarrow 1 - s$ ).
- Todos los ceros de  $\Lambda(A, \varrho, s)$  se hallan sobre la recta  $\Re(s) = 1/2$ .

## Teorema 3 (Bucur-F.-Kedlaya; 2019)

Si HRG se cumple para toda  $\varrho$ , entonces la versión efectiva de Sato-Tate se cumple tomando

$$\varepsilon = \frac{1}{2(q + \varphi)},$$

siendo  $q = \text{rk}(\text{ST}(A))$  y  $\varphi$  el núm. de raíces positivas de su parte semisimple.